

Asthuri Wuram 20080847

Thomas Anne 20092769

Vetzuur bepaling in boter via GC

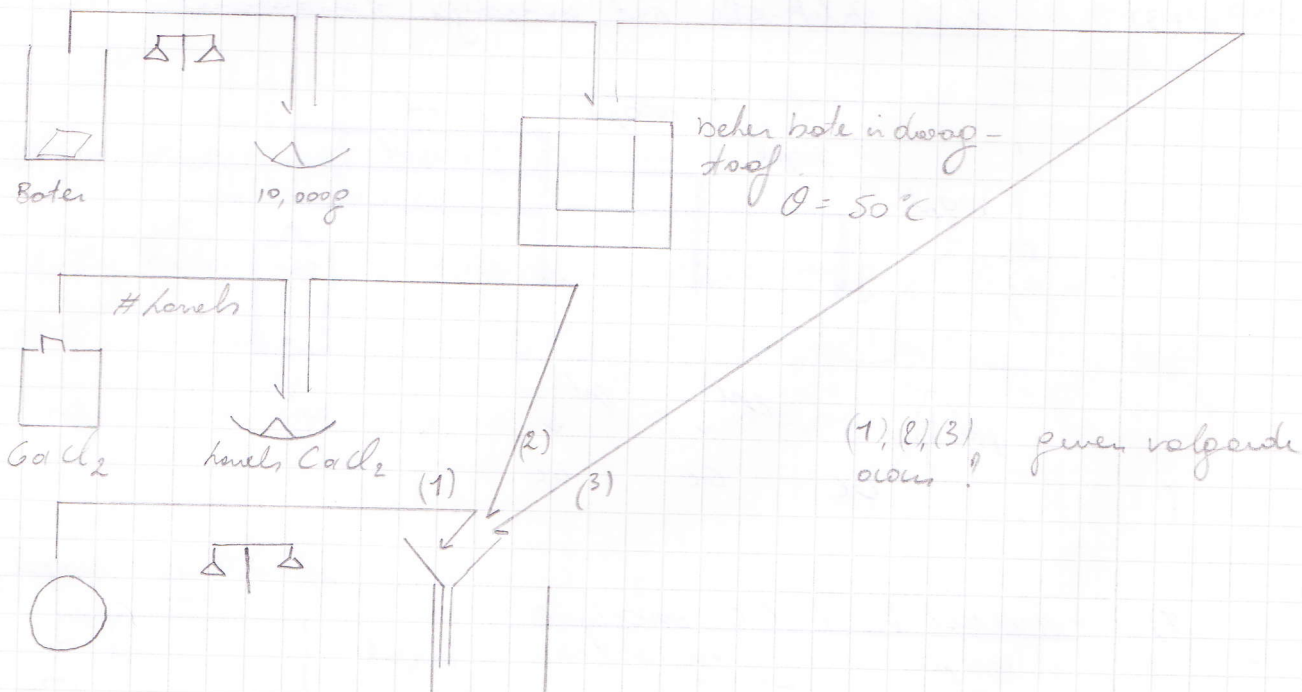
Doelstelling:

De te onderzoeken boter bestaat uit vetzuren die ook voorkomen in het vegetariumengsel, oft zoll onderzocht worden door een GC-analyse op het boterstaal.

benedijsdodheden en werkwyse

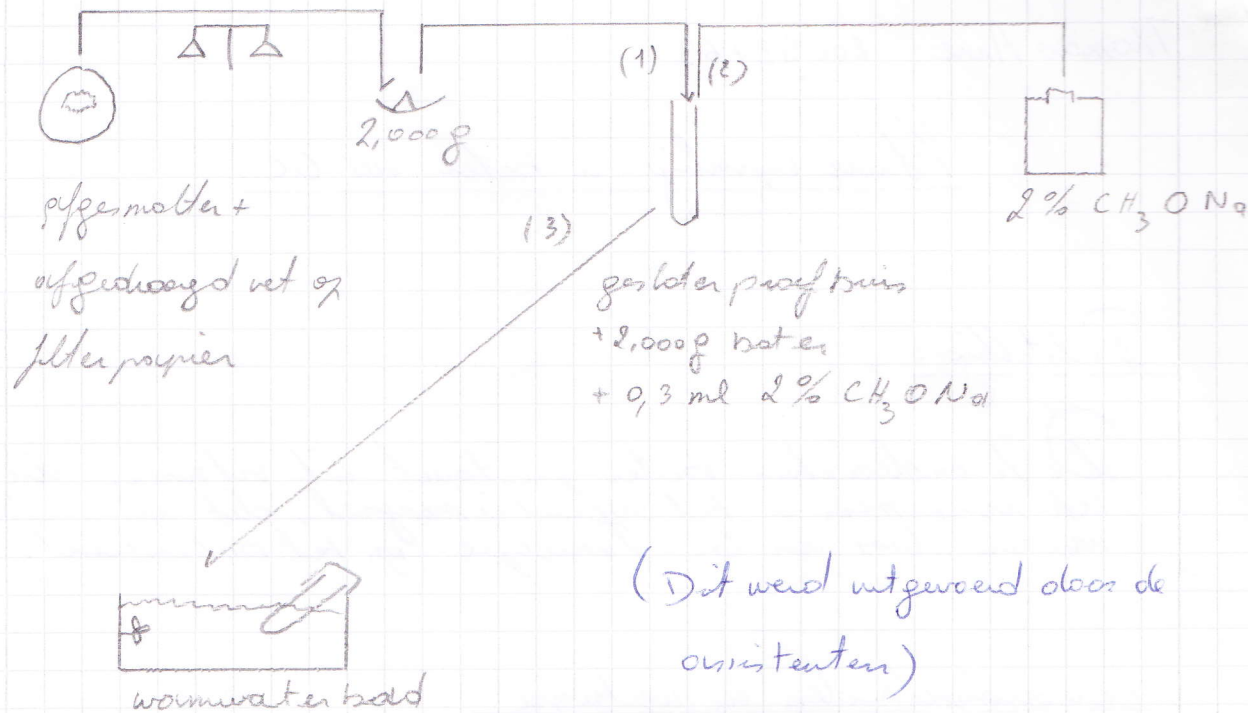
Monsteraarbereiding:

(Wech op voorraad van de proef)



(Dit word uitgevoerd door de assistenten)

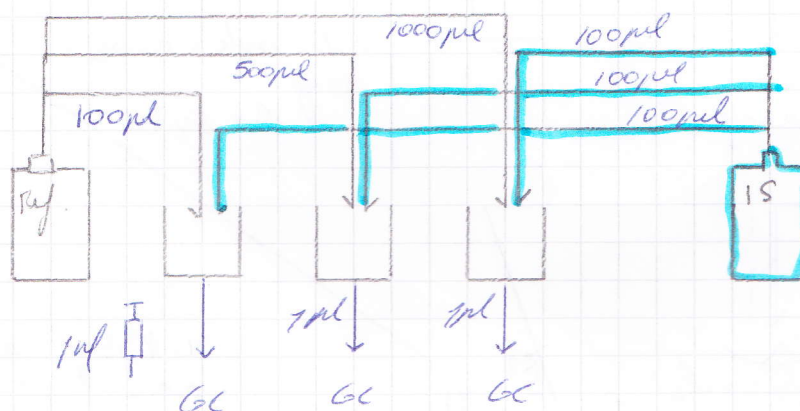
(2) Normwater behouwendig:



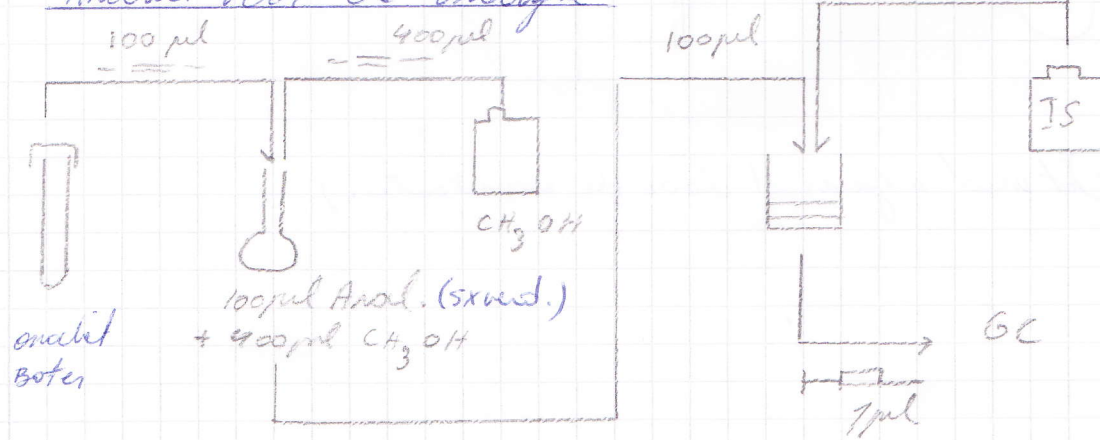
$$\Delta t = 2 \text{ u.}$$

$$\theta = 75^\circ\text{C}.$$

(3) Externe calibratie met onverdigde standaard.



9) Anoelit voor GC analyse



$C_{15}H_{30}O_2$	0,863	$p = \frac{g}{l \cdot m^3} = \frac{g}{l \cdot m^3}$	gasundurchlässigkeit:
$C_{17}H_{36}O_2$	0,89		
$C_{19}H_{34}O_2$	0,88		
$C_{16}H_{22}O_4$	0,85		
$C_{23}H_{46}O_2$	0,80		

1.1.1. $\text{C}_{15}\text{H}_{30}\text{O}_2$ und $\text{C}_{17}\text{H}_{36}\text{O}_2$
 $\Rightarrow 100\text{ ml IS} + 100\text{ ml FF}$
 $\Rightarrow 100\text{ ml IS} + 500\text{ ml FF}$
 $\Rightarrow 100\text{ ml IS} + 100\text{ ml FF}$

effektiv m.b.v. fourkondensationsprinzip:

durchdringlichfiltrat $\text{C}_{16}H_{22}O_4$ ($800\text{ ml} \text{ u. } 8,5\text{ g} \text{ und } \text{CH}_3\text{COH}$)

unlösbarkeit von oleumwänden entzweigt

Sozul.	$C_{19}H_{34}O_2$	unlösbarkeit durchsetzt
Sozul.	$C_{19}H_{36}O_2$	unlösbarkeit durchsetzt
Sozul.	$C_{17}H_{36}O_2$	unlösbarkeit durchsetzt
Sozul.	$C_{23}H_{46}O_2$	unlösbarkeit durchsetzt
Sozul.	$C_{19}H_{38}O_2$	unlösbarkeit durchsetzt
Sozul.	$C_9H_{18}O_2$	unlösbarkeit durchsetzt
Sozul.	$C_{13}H_{26}O_2$	lösbarkeitsverlust methanolat
Sozul.	$C_{17}H_{22}O_2$	unlösbarkeit durchsetzt
Sozul.	$C_{15}H_{30}O_2$	unlösbarkeit durchsetzt

unlösbarkeit von oleumwänden (alle organisch in sozul und methanolat)

"table: nederlands zijn een voorbeeld van de verschillende seafarers"

0,1716	1	0,11	0,1807	0,11	0,1814	0,1716
28172271	9359158	10630580	13110050	8839445	97777777	97777777
CH_3O	$\text{C}_2\text{H}_5\text{O}$	$\text{C}_3\text{H}_7\text{O}$	$\text{C}_4\text{H}_{11}\text{O}$	$\text{C}_5\text{H}_{12}\text{O}$	$\text{C}_6\text{H}_{14}\text{O}$	$\text{C}_7\text{H}_{16}\text{O}$
S #	b #	s #	g #	L #	Polymer	Others

(the hypothesis was never tested statistically significant)

"fundamental research on teaching in the higher educational institutions"

In most cases one 10^8 left granulation, there will be many more granulations, but well developed points, but often irregularly shaped points, and some small ones, all scattered throughout the tissue.

especially to encourage local hosts

modulare Leistungsfaktor	modulare IS:
(11) 0,05%	C ₁₁ H ₂₂ O ₂
(11) 0,05%	C ₁₅ H ₃₀ O ₂
(11) 0,05%	C ₁₃ H ₂₆ O ₂
(11) 0,05%	C ₉ H ₁₈ O ₂
(11) 0,05%	C ₁₉ H ₃₈ O ₂ 0,950,3 g/mol
(11) 0,05%	C ₂₃ H ₄₆ O ₂ 0,534,9 g/mol
(11) 0,05%	C ₁₇ H ₃₄ O ₂ 0,474,9 g/mol
(11) 0,05%	C ₁₉ H ₃₆ O ₂
(11) 0,05%	C ₁₉ H ₃₄ O ₂
(11) 0,05%	C ₁₆ H ₂₂ O ₄

Qualitative research:

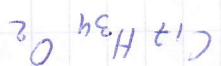
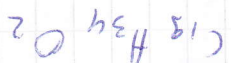
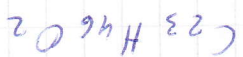
• **Focus:** el desarrollo y funcionamiento de las neuronas

totalt: "affordet sen de moden til du i høst se oplever".

Protein	SI:	Vibration frequency (cm⁻¹)	Wavenumbers (cm⁻¹)	Conc. (M)					
C ₁₅ H ₃₀ O ₂	5.95	2539720	1854090	35266930	5.95	6.408	30046610	43419480	41650540
C ₁₇ H ₃₄ O ₂	6.408	6.408	30046610	43419480	41650540	6.408	30046610	43419480	41650540
C ₁₉ H ₃₄ O ₂	7.332	48197840	7810480	86001580	7.332	7.332	48197840	7810480	86001580
C ₁₆ H ₂₂ O ₄	8.1803	8.1803	4416726	11914990	4416726	8.1803	8.1803	4416726	11914990
C ₂₃ H ₄₆ O ₂	8.8798	8.8798	86101160	13287310	86101160	8.8798	8.8798	86101160	13287310

„Erfurter Schriftsteller und Schriftstellerin“
sofern sie einen sozialen Wandel oder andere soziale Themen
oder soziale Probleme thematisieren

we + Thomas Albrecht Dürer have founded public welfare institutions by the 60-thousand



zu langsame Abflusse: hydrophobe Wasser ($C_{15}H_{30}O_2$)

"Total: All. hour. result suitable theoretical refutes
for the diffusion number, then measured "measured
product were due to diffusion number, then theoretical
product"

$C_{15}H_{30}O_2$	$C_{17}H_{34}O_2$	$C_{18}H_{34}O_2$	$C_{16}H_{32}O_4$	$C_{23}H_{46}O_2$
0,514	0,493	0,46	0,43	0,30
8,57	8,46	8,30	7	6,36
1:10 (15:1)	1:5 (17:1)	1:5 (18:1)	1:7 (16:1)	1:10 (23:1)

"Total: All. hour. result suitable theoretical refutes
for the diffusion number, then measured "measured
product were due to diffusion number, then theoretical
product"

$C_{15}H_{30}O_2$	$C_{17}H_{34}O_2$	$C_{18}H_{34}O_2$	$C_{16}H_{32}O_4$	$C_{23}H_{46}O_2$
1,020	1,083	1,633	1	5,95
1,56	3,64	6,61	1	1
7,199	9,43	5,89	1:10 (15:1)	1:10 (23:1)

Waterflow was measured in mm/min

t

Wieder auf der feinfesten

Größe dienten die reifen, alte Käfer zu
deren Verzehr ein großes Interesse.

Die Größe kann wahrscheinlich von mehreren Faktoren abhängen:
 mit steigender Temperatur nimmt die Größe nicht weiter zu, obwohl die
 Larven sich weiter auswachsen und die Brustfüße ausgebildet werden.
 Bei 32°C sind die Larven am größten.
 Bei 24°C sind die Larven am kleinsten.
 Bei 16°C sind die Larven am kleinsten.
 Bei 8°C sind die Larven am kleinsten.
 Bei 4°C sind die Larven am kleinsten.

Die Larven sind im Laufe ihres Wachstums
 von 24°C bis 32°C um 10% größer.
 Bei 16°C ist das Wachstum gestoppt.

Die Larven sind bei 8°C und 4°C nur noch
 10% größer als bei 24°C.

Bemerkung:

Temperatur (°C)	1	2	3	4	5	6	7	8
24°C	10,4	11,2	11,8	12,4	13,0	13,6	14,2	14,8
16°C	10,0	10,8	11,5	12,2	12,9	13,6	14,3	15,0
8°C	9,6	10,4	11,2	12,0	12,8	13,6	14,4	15,2

Übergänge im Körperbau:

noch die Molchlarille: $\text{C}_{15}\text{H}_{30}\text{O}_2$, $\text{C}_{17}\text{H}_{34}\text{O}_2$, $\text{C}_{19}\text{H}_{34}\text{O}_2$, $\text{C}_{23}\text{H}_{46}\text{O}_2$

noch der lederähnliche Punkt markiert / liegt im Bauchendbereich.

Am Ende befindet sich eine Kugel aus zermürbtem Fell, welche die Larve während

ihres Abschlüpfens aus dem Ei schützen soll.

Am Anfang befindet sich eine Kugel aus zermürbtem Fell,

am Ende, Themen hier

Affould used small Sx motions for surround, all going before surround. It could have been a lot louder surround. It was a bit more muted, old soft ears etc.

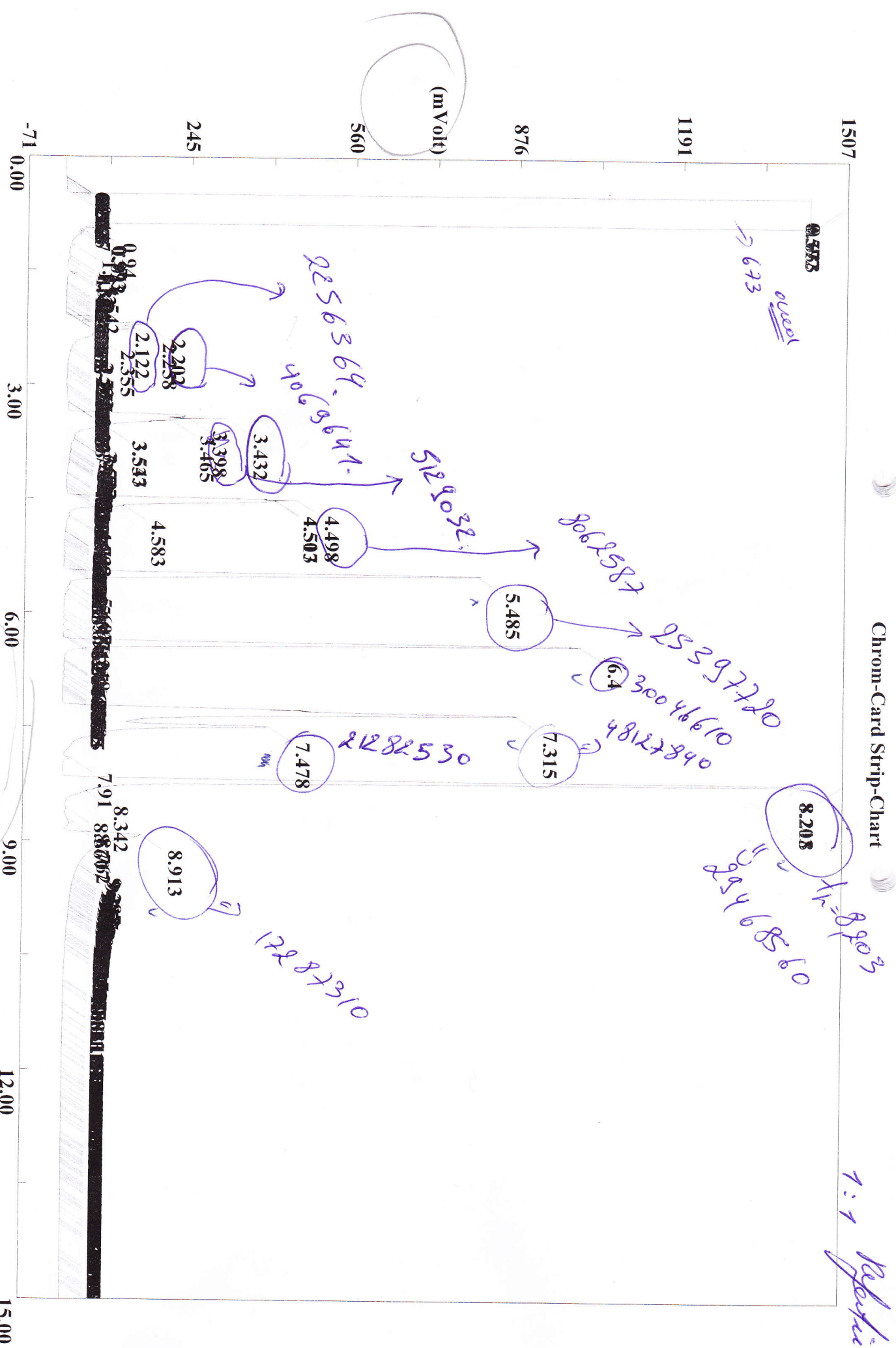
The loweend had red sun in bottle and has been faded.

Cambodia.

In 100 ml bottle mixed with 65, +8 mg Thiole disodiumbenzoate
methyl ester, 163, 22 mg methyl paraben, 84, 84 mg

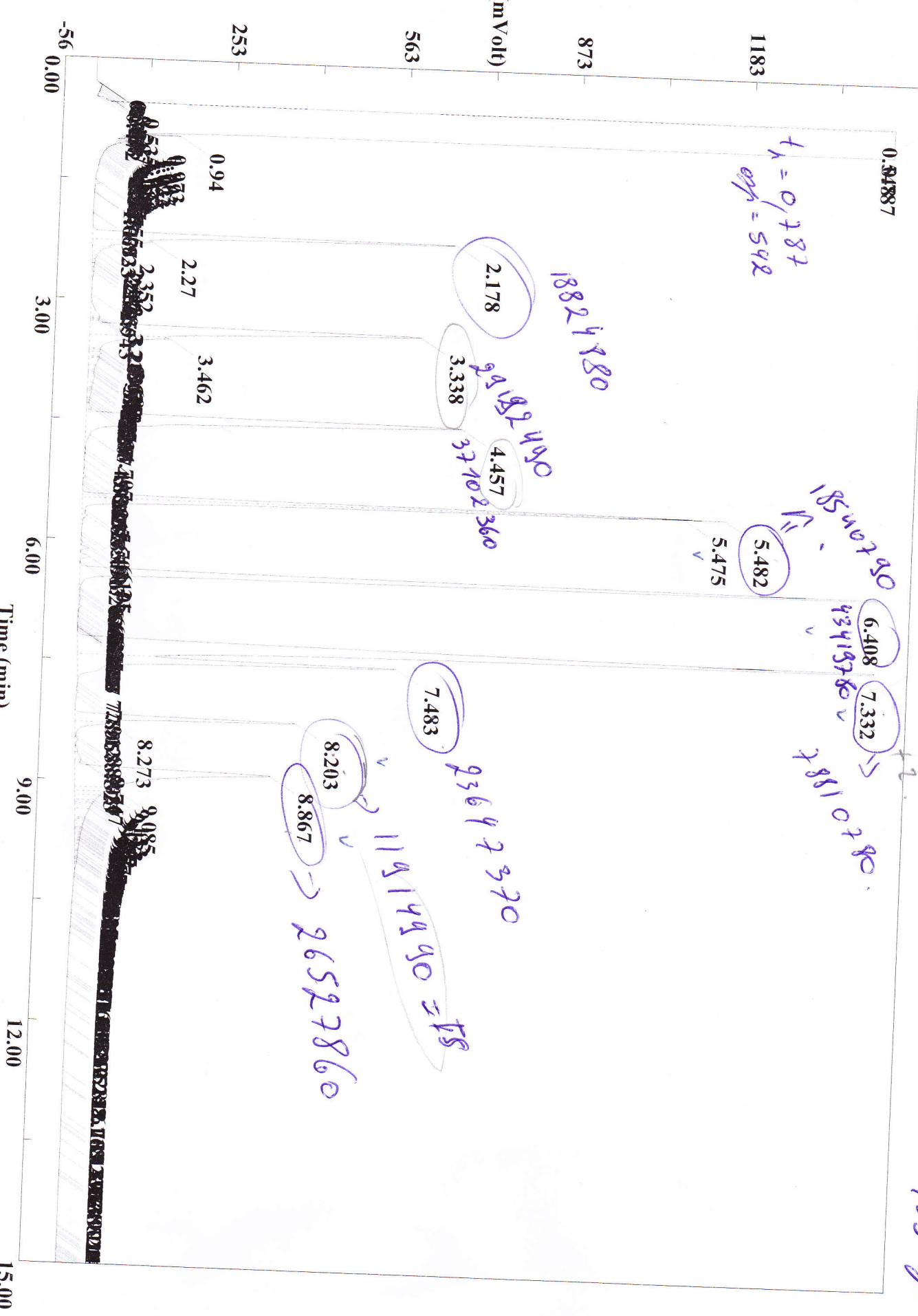
methyl benzoate

Chrom-Card Strip-Chart



Filename C:\...\Yannick Vercammen\test_181.dat
Sample name :test_181 Analysed :10/10/2011 14:48

1:5 Glutaric



Filename C:\...\Yannick Vercammen\test_182.dat
Sample name :test_182 Analysed :10/10/2011 15:28

1:10 by
Vercammen

0.557

6.418

7.323

416505%

^

7.230

4660

(zorg voor de stofneden
nogal ?)

2 producten

35266970

^

5.487

29810210

^

874

1183

(mVolt)

874

1183

1183

1183

1183

1183

564

564

564

564

564

564

564

564

564

564

564

564

564

564

564

564

564

564

564

564

564

564

564

564

564

564

564

564

564

564

564

Time (min)

3.00

6.00

9.00

12.00

15.00

Filename C:\...\Vannick Vercammen\test_183.dat
Sample name :test_183 Analysed :10/10/2011 15:52

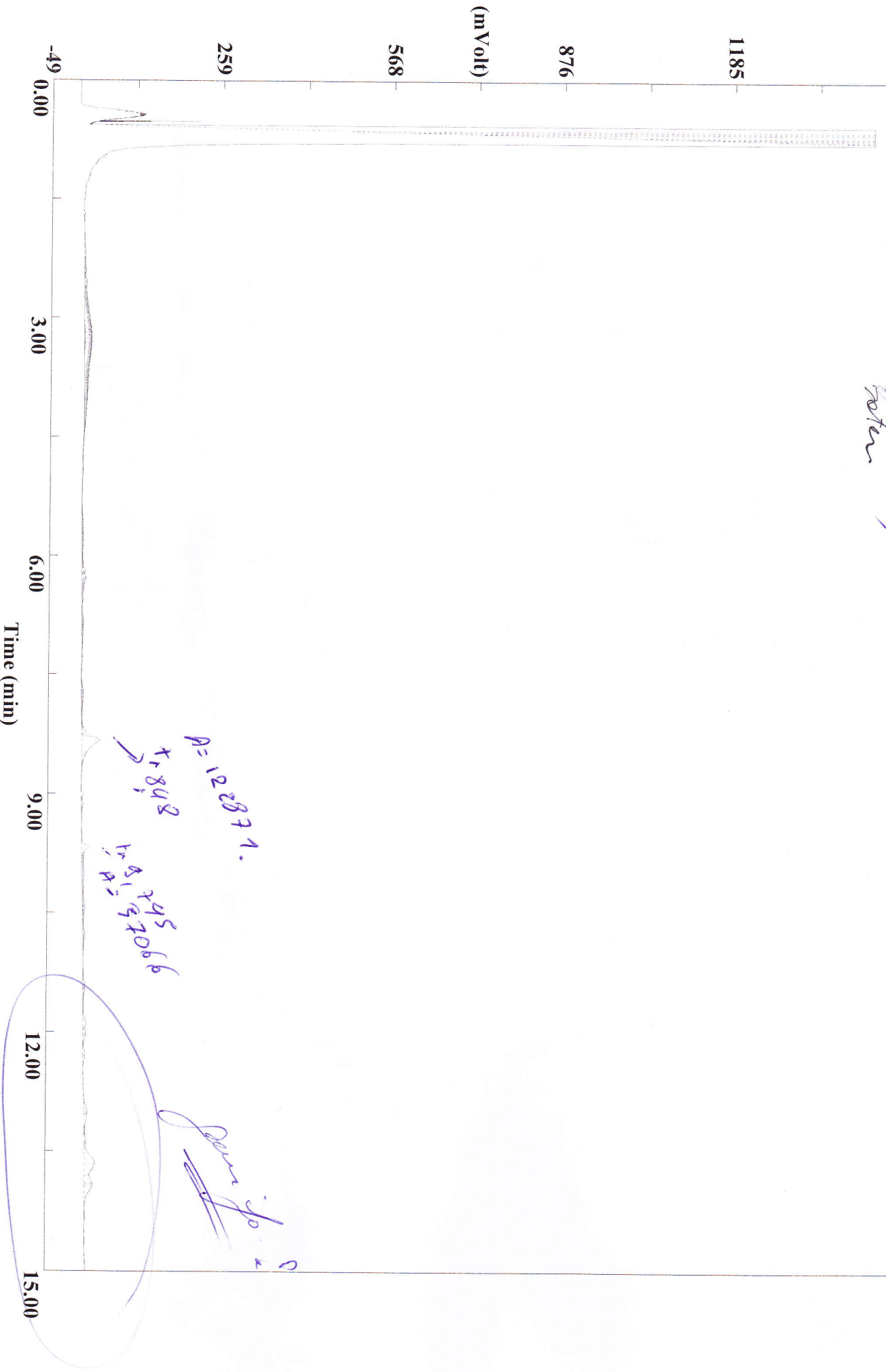
1493

Beta Blister T:?

(Kroenke)

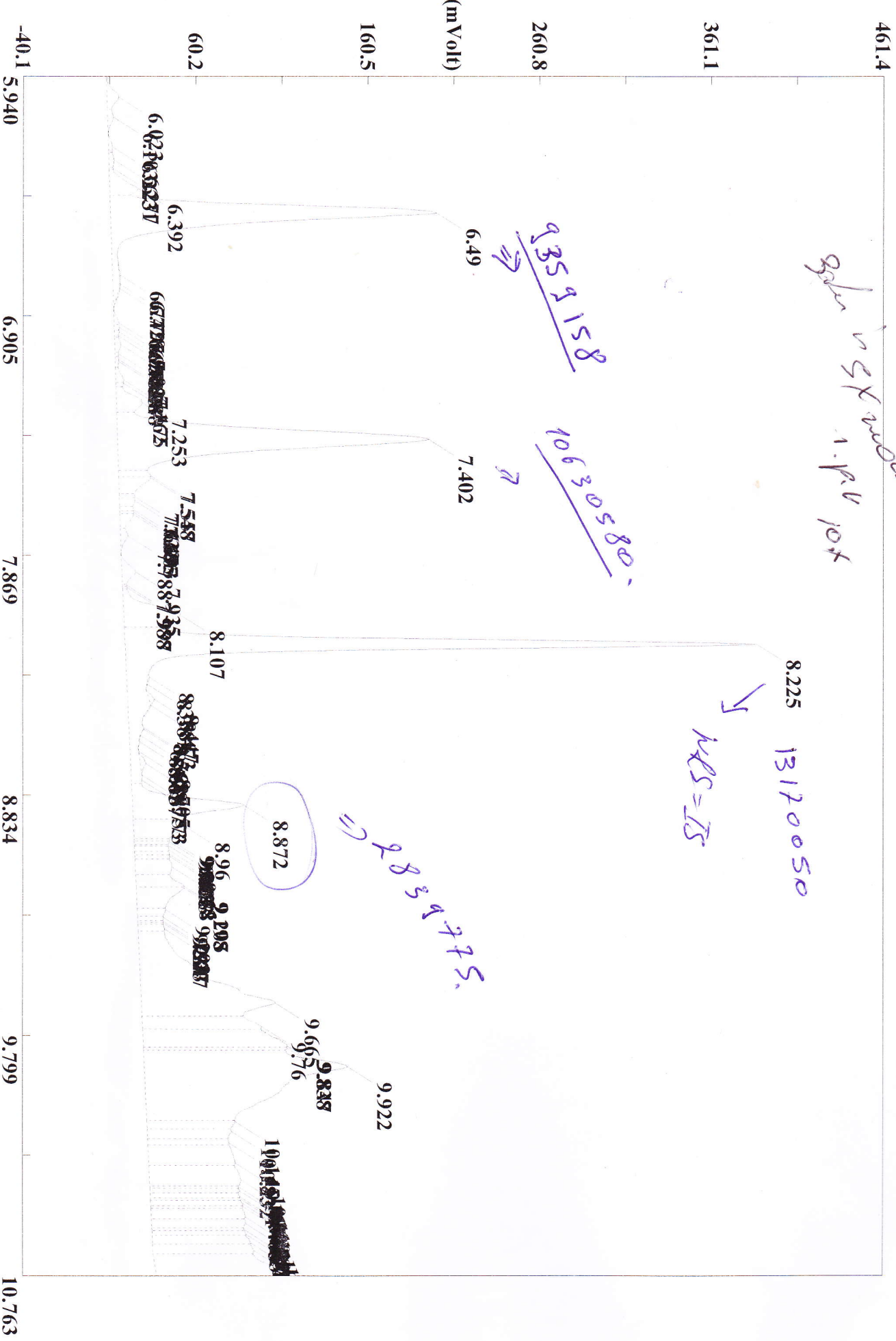
Chrom-Card Strip-Chart

Beta



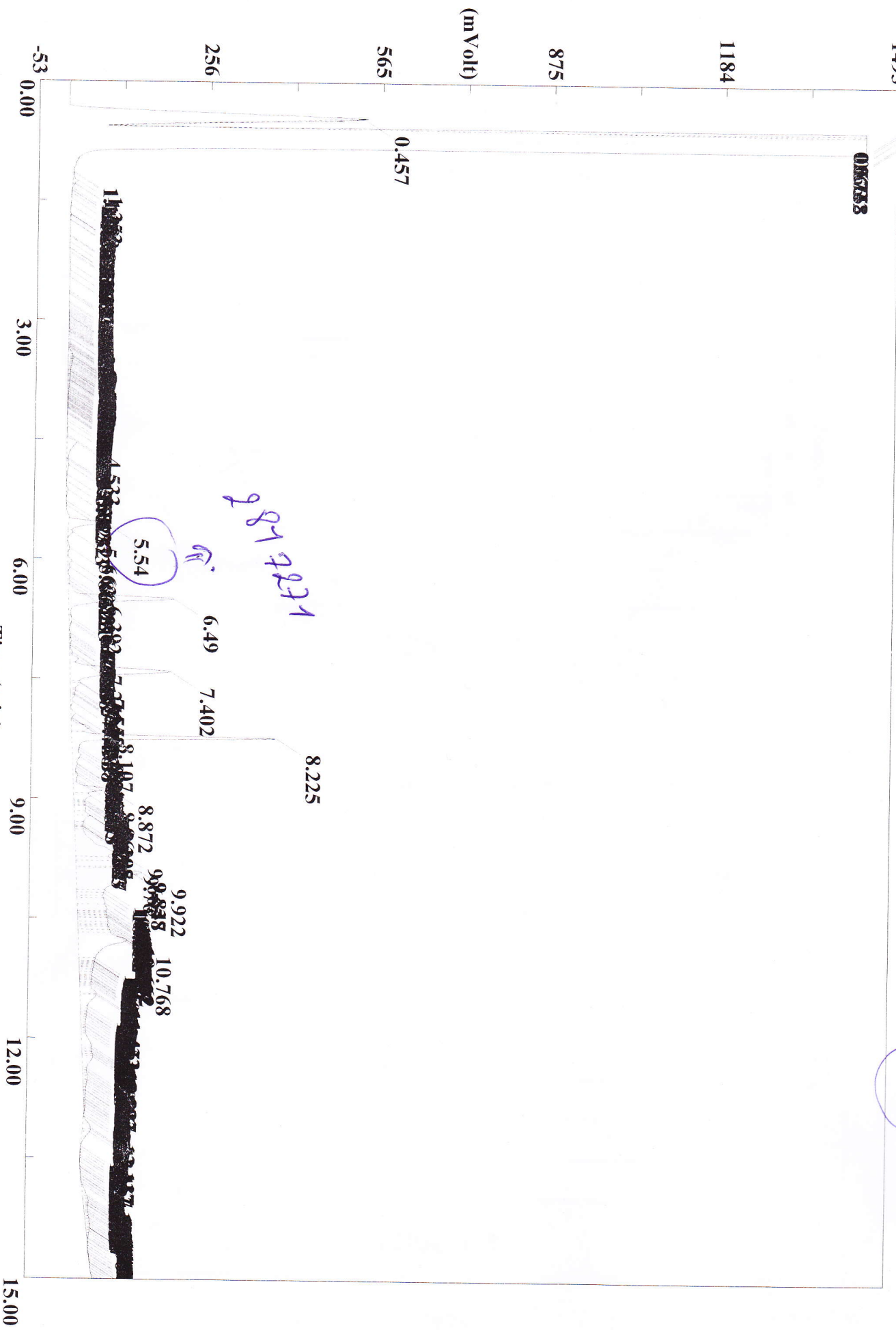
Filename C:\...\Yannick Vercammen\test_184.dat
Sample name :test_184 Analysed :10/10/2011 16:25

Chrom-Card Strip-Chart

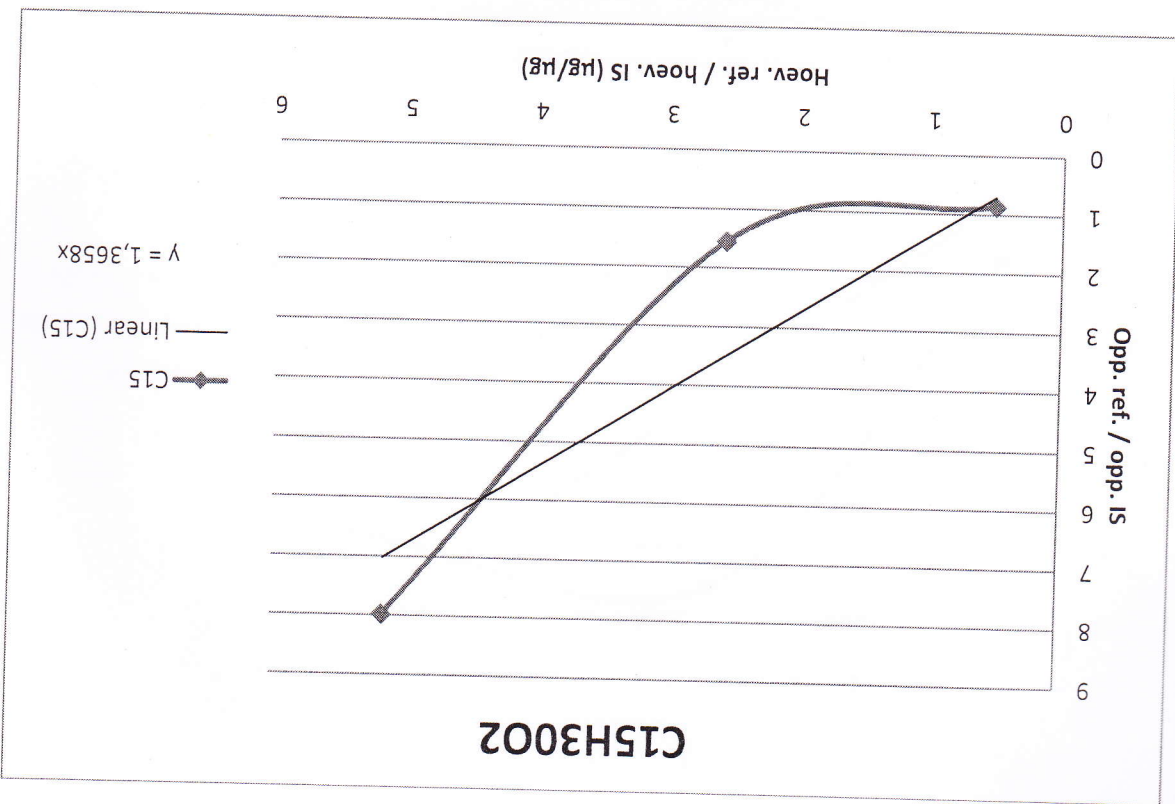
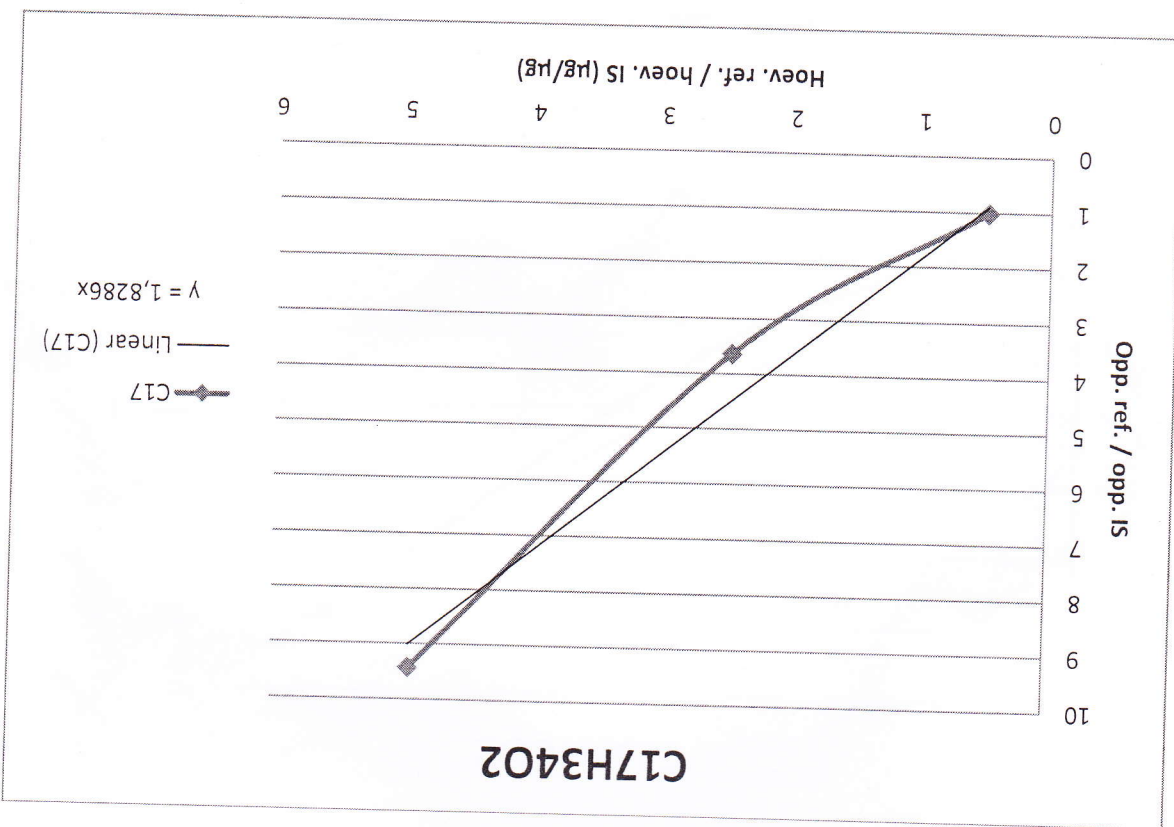


Filename C:\...\Yannick Vercammen\test_186.dat
Sample name :test_186 Analysed :10/10/2011 17:12

0.6568



Filename C:\...\Yannick Vercammen\test_186.dat
Sample name :test_186 Analysed :10/10/2011 17:12



Pulsa undulidae auf ganzer
Fläche verteilt?

